

<b>Zeitschrift:</b>	Eclogae Geologicae Helvetiae
<b>Herausgeber:</b>	Schweizerische Geologische Gesellschaft
<b>Band:</b>	59 (1966)
<b>Heft:</b>	1
<b>Artikel:</b>	Die Foraminiferen der Unterkreide von Trinidad, W.I. Zweiter Teil, Maridale-Formation (Typlokalität)
<b>Autor:</b>	[s.n.]
<b>Anhang:</b>	Tafeln
<b>DOI:</b>	<a href="https://doi.org/10.5169/seals-163363">https://doi.org/10.5169/seals-163363</a>

#### Nutzungsbedingungen

Die ETH-Bibliothek ist die Anbieterin der digitalisierten Zeitschriften auf E-Periodica. Sie besitzt keine Urheberrechte an den Zeitschriften und ist nicht verantwortlich für deren Inhalte. Die Rechte liegen in der Regel bei den Herausgebern beziehungsweise den externen Rechteinhabern. Das Veröffentlichen von Bildern in Print- und Online-Publikationen sowie auf Social Media-Kanälen oder Webseiten ist nur mit vorheriger Genehmigung der Rechteinhaber erlaubt. [Mehr erfahren](#)

#### Conditions d'utilisation

L'ETH Library est le fournisseur des revues numérisées. Elle ne détient aucun droit d'auteur sur les revues et n'est pas responsable de leur contenu. En règle générale, les droits sont détenus par les éditeurs ou les détenteurs de droits externes. La reproduction d'images dans des publications imprimées ou en ligne ainsi que sur des canaux de médias sociaux ou des sites web n'est autorisée qu'avec l'accord préalable des détenteurs des droits. [En savoir plus](#)

#### Terms of use

The ETH Library is the provider of the digitised journals. It does not own any copyrights to the journals and is not responsible for their content. The rights usually lie with the publishers or the external rights holders. Publishing images in print and online publications, as well as on social media channels or websites, is only permitted with the prior consent of the rights holders. [Find out more](#)

**Download PDF:** 19.08.2025

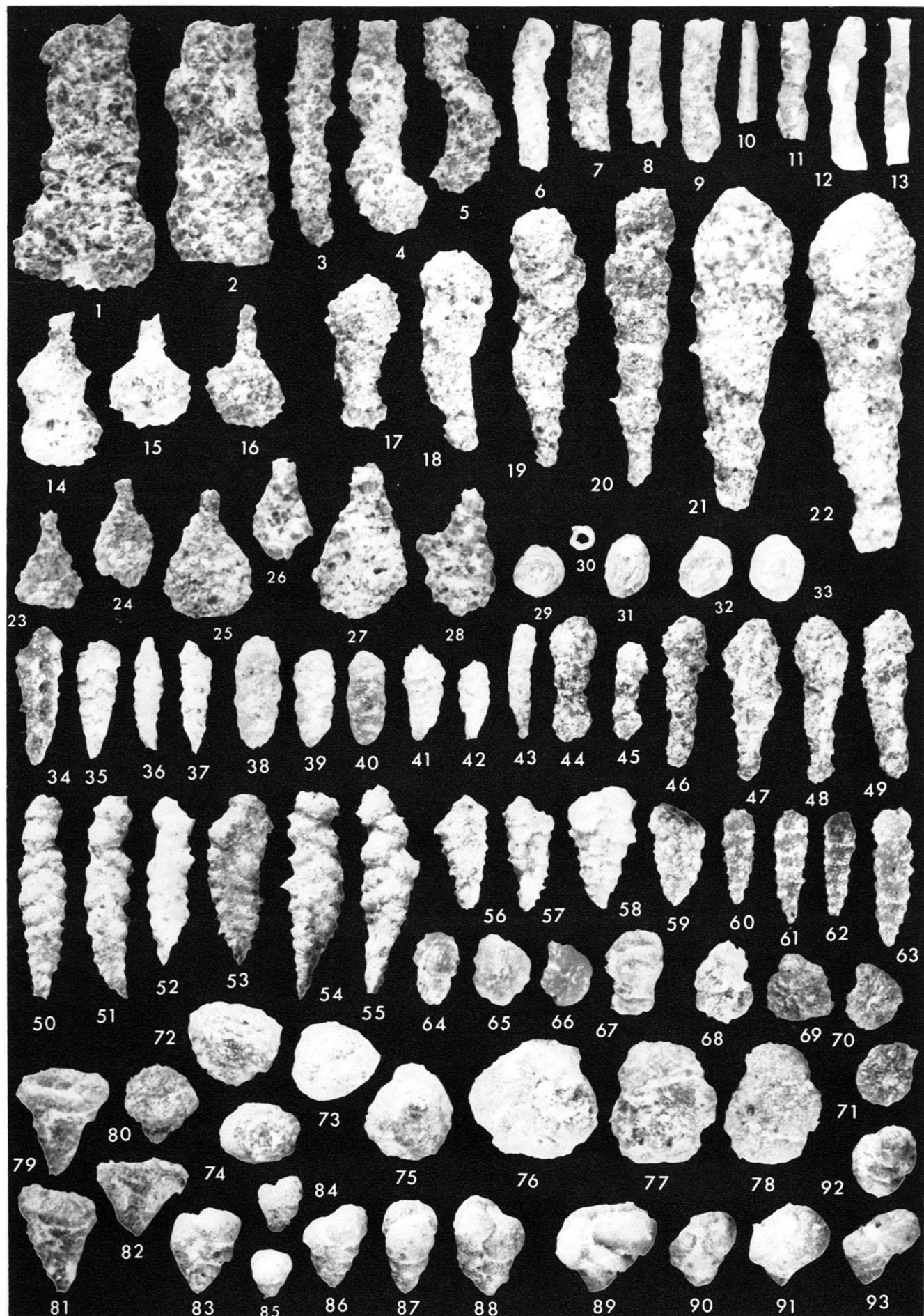
**ETH-Bibliothek Zürich, E-Periodica, <https://www.e-periodica.ch>**

## Tafel I

### Sandschalige Foraminiferen aus der Maridale-Formation von Trinidad

Sämtliche Figuren: Vergrösserung 20:1

Fig. 1–2. <i>Ammobaculites goodlandensis</i> CUSHMAN & ALEXANDER 1930. Bruchstücke des gestreckten Gehäuseteils. – Länge: 2,13 mm (Fig. 1). – C 24537/1–2	139
Fig. 3–5. <i>Ammobaculites subcretaceus</i> CUSHMAN & ALEXANDER 1930. Länge: 1,78 mm (Fig. 3). – C 24538/1–3	139
Fig. 6–13. <i>Hyperammina gaultina</i> DAM 1950. 6–9: Rauhe, grobkieselige Gehäuse. – Länge: 1,23 mm (Fig. 6). 10–13: Glattwandige, feinkieselige Gehäuse. – Länge: 1,18 mm (Fig. 13). – C 24539/1–8	137
Fig. 14–16. <i>Reophax pilulifer</i> H. B. BRADY 1884. Länge: 1,25 mm (Fig. 14). – C 24540/1–3	137
Fig. 17–22, 44–49. <i>Ammobaculites torosus</i> LOEBLICH & TAPPAN 1949. Längen: 1,0 mm (Fig. 44, kleinste Form); 1,30 mm (Fig. 47, etwas grössere Form); 1,60 mm (Fig. 18, noch grössere Form); 2,03 mm (Fig. 19, zweitgrösste Form); 2,83 mm (Fig. 22, grösste Form) – C 24541/1–12	139
Fig. 23–28. <i>Reophax guttifer</i> H. B. BRADY 1884. 23–25: Stark plattgedrückte, mittelkörnige Gehäuse. – Länge: 0,80 mm (Fig. 23) 26–28: Weniger plattgedrückte, kräftige und grobkörnige Gehäuse. – Länge: 1,25 mm (Fig. 27). – C 24627/1–6	137
Fig. 29. <i>Ammodiscus gaultinus</i> BERTHELIN 1880. Durchmesser: 0,45 mm. – C 24542	140
Fig. 30. <i>Spirillina minima</i> SCHACKO 1892. Durchmesser: 0,23 mm. – C 24543	161
Fig. 31–33. <i>Glomospira gordialis</i> (JONES & PARKER 1860). Durchmesser 0,53 mm (Fig. 31). – C 24544/1–3	140
Fig. 34–37, 50–55. <i>Gaudryina reicheli</i> n. sp. 54: Holotypus. Länge: 1,68 mm. – C 24545. 34–37, 50–53, 55: Paratypoide. Länge: 1,13 mm (Fig. 34). – C 24546/1–9	142
Fig. 38–40. <i>Gaudryinella sherlocki</i> BETTENSTAEDT 1952. Länge: 0,90 mm (Fig. 38). – C 24547/1–3	141
Fig. 41–42. <i>Textularia</i> ? sp. Länge: 0,75 mm (Fig. 41). – C 24548/1–2	140
Fig. 43. <i>Dorothia filiformis</i> (BERTHELIN 1880). Länge: 0,93 mm. – C 24549	144
Fig. 44–49. Siehe Erklärungen bei Fig. 17–22.	
Fig. 50–55. Siehe Erklärungen bei Fig. 34–37.	
Fig. 56–57. <i>Gaudryina dividens</i> GRABERT 1959. Länge: 0,90 mm (Fig. 56). – C 24550/1–2	141
Fig. 58–59. <i>Marssonella oxycona</i> (REUSS 1860). Länge: 1,0 mm (Fig. 58). – C 24551/1–2	144
Fig. 60–63. <i>Bigenerina</i> cf. <i>clavellata</i> LOEBLICH & TAPPAN 1946. Länge: 1,13 mm (Fig. 63). – C 24552/1–4	141
Fig. 64–71, 76–78. <i>Haplophragmoides concavus</i> (CHAPMAN 1892). 64–67: Kleine Gehäuse mit kieselig-amorphen Wandungen. – Durchmesser: 0,60 mm (Fig. 64). – C 24553/1–4. 68–71: Kleine Gehäuse mit feinkörnigen Wandungen. – Durchmesser: 0,68 mm (Fig. 68). – C 24553/5–8. 76–78: Grosswüchsige, fein- bis mittelkörnige, bisweilen auch grobkörnige Gehäuse. – Durchmesser: 1,05 mm (Fig. 76). – C 24553/9–11	138
Fig. 72–75. <i>Valvulina fusca</i> (WILLIAMSON 1858). Durchmesser: 0,80 mm (Fig. 72). – C 24554/1–4	145
Fig. 76–78. Siehe Erklärungen bei Fig. 64–71.	
Fig. 79–82. <i>Marssonella subtrochus</i> BARTENSTEIN 1962. Länge: 0,88 mm (Fig. 79). – C 24555/1–4	144
Fig. 83–93. <i>Dorothia</i> cf. <i>conula</i> (REUSS 1845). Länge: 0,70 mm (Fig. 83); 0,75 mm (Fig. 89). – C 24556/1–11	144

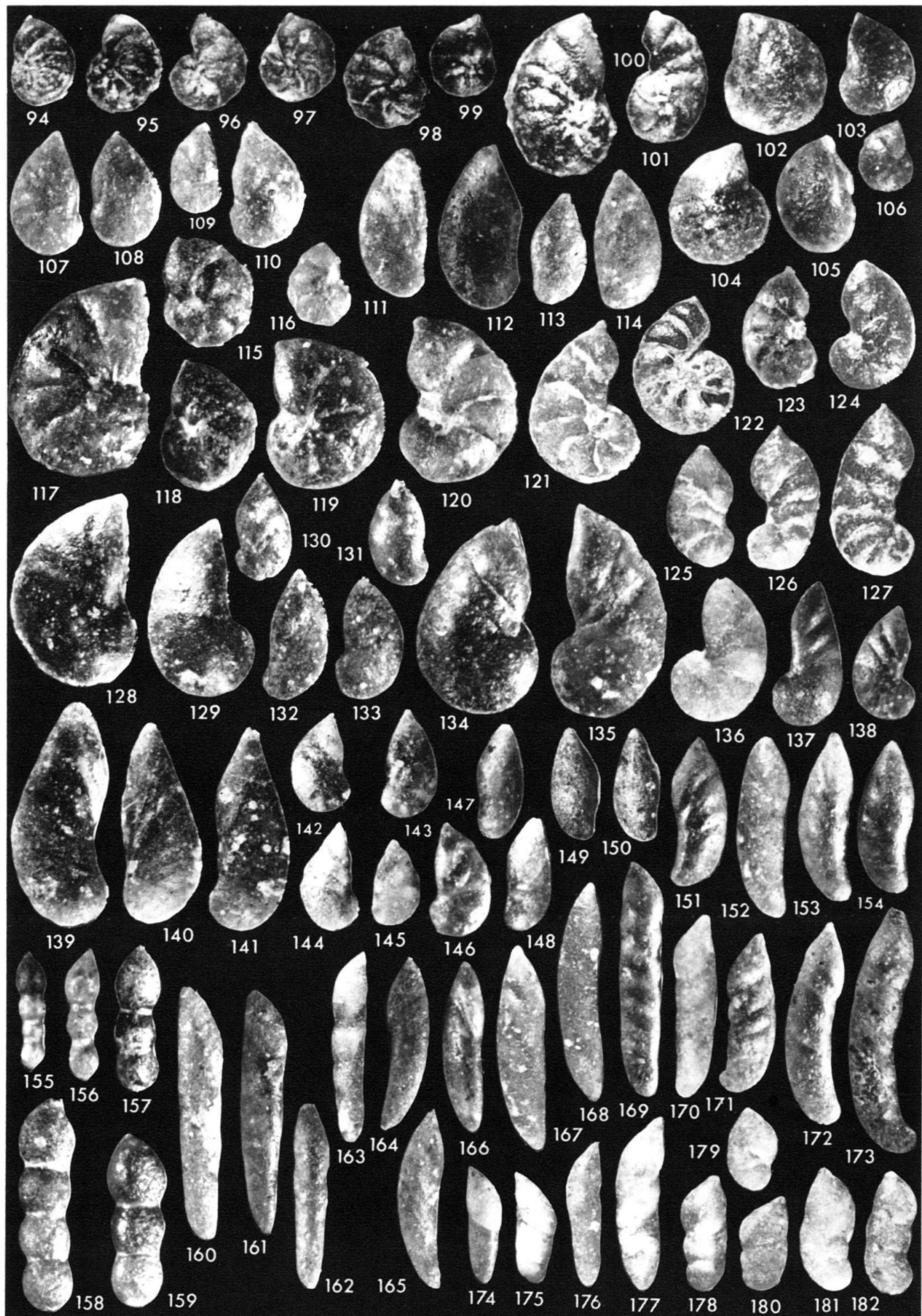


## Tafel II

### Kalkschalige Foraminiferen der Familie Lagenidae aus der Maridale-Formation von Trinidad

Sämtliche Figuren: Vergrösserung 20:1

Fig. 94. <i>Lenticulina</i> ( <i>L.</i> ) cf. <i>schreiteri</i> (EICHENBERG 1935). Grösster Durchmesser: 0,73 mm. – C 24557 . . . . .	145
Fig. 95–99. <i>Lenticulina</i> ( <i>L.</i> ) <i>saxocretacea</i> BARTENSTEIN 1954. Grösster Durchmesser: 0,78 mm (Fig. 95). – C 24558/1–5 . . . . .	146
Fig. 100–101. <i>Lenticulina</i> ( <i>L.</i> ) <i>guttata</i> (DAM 1946). Länge: 1,28 mm (Fig. 100). – C 24559/1–2 . . . . .	146
Fig. 102–106. <i>Lenticulina</i> ( <i>L.</i> ) <i>acuta</i> (REUSS 1860). Grösster Durchmesser: 1,03 mm (Fig. 102). – C 24560/1–5 . . . . .	146
Fig. 107–110. <i>Lenticulina</i> ( <i>L.</i> ) <i>pulchella</i> (REUSS 1863). Länge: 1,0 mm (Fig. 107). – C 24561/1–4 . . . . .	147
Fig. 111–114. <i>Lenticulina</i> ( <i>L.</i> ) <i>strombeckii</i> (REUSS 1863). Länge: 1,30 mm (Fig. 112). – C 24562/1–4 . . . . .	147
Fig. 115–119. <i>Lenticulina</i> ( <i>L.</i> ) <i>turgidula</i> (REUSS 1863). Länge: 0,90 mm (Fig. 115); 1,63 mm (Fig. 117). – C 24563/1–5 . . . . .	147
Fig. 120–124. <i>Lenticulina</i> ( <i>A.</i> ) sp. (n. sp.) Länge: 1,33 mm (Fig. 120); 1,08 mm (Fig. 122). – C 24564/1–5 . . . . .	148
Fig. 125–127. <i>Lenticulina</i> ( <i>M.</i> ) <i>lituola</i> (REUSS 1846). Länge: 1,35 mm (Fig. 127). – C 24565/1–3 . . . . .	150
Fig. 128–129. <i>Lenticulina</i> ( <i>L.</i> ) <i>subgaultina</i> BARTENSTEIN 1962. Länge: 1,58 mm (Fig. 128). – C 24566/1–2 . . . . .	147
Fig. 130–133. <i>Lenticulina</i> ( <i>A.</i> ) <i>grata</i> (REUSS 1863). Länge: 1,15 mm (Fig. 132). – C 24567/1–4 . . . . .	148
Fig. 134–135. <i>Lenticulina</i> ( <i>L.</i> ) cf. <i>acuta</i> (REUSS 1860). Länge: 1,68 mm (Fig. 135). – C 24568/1–2 . . . . .	147
Fig. 136–138. <i>Lenticulina</i> ( <i>V.</i> ) <i>excentrica</i> (CORNUEL 1848). Länge: 1,13 mm (Fig. 136). – C 24569/1–3 . . . . .	149
Fig. 139–141. <i>Lenticulina</i> ( <i>V.</i> ) <i>harpa</i> (REUSS 1860). Länge: 1,78 mm (Fig. 139). – C 24570/1–3 . . . . .	150
Fig. 142–146. <i>Lenticulina</i> ( <i>A.</i> ) <i>planiuscula</i> (REUSS 1863). Länge: 0,90 mm (Fig. 146). – C 24571/1–5 . . . . .	148
Fig. 147–150. <i>Lenticulina</i> ( <i>A.</i> ) <i>scitula</i> (BERTHELIN 1880). Länge: 0,95 mm (Fig. 150). – C 24572/1–4 . . . . .	149
Fig. 151–154, 169–173. <i>Lenticulina</i> ( <i>A.</i> ) <i>calliopsis</i> (REUSS 1863). Länge: 1,18 mm (Fig. 151); 1,85 mm (Fig. 169); 1,93 mm (Fig. 173). – C 24573/1–9.	149
Fig. 155–159. <i>Dentalina</i> <i>soluta</i> REUSS 1851. (siehe auch Taf. 3 Fig. 183–186). Länge: 0,93 mm (Fig. 155); 1,68 mm (Fig. 158). – C 24574/1–5 . . . . .	152
Fig. 160–163 <i>Marginulina</i> <i>linearis</i> REUSS 1863 (siehe auch Taf. 3 Fig. 210). Länge: 2,0 mm (Fig. 160); 1,50 mm (Fig. 163). – C 24575/1–4 . . . . .	151
Fig. 164–168. <i>Lenticulina</i> ( <i>V.</i> ) <i>incurvata</i> (REUSS 1863). Länge: 1,35 mm (Fig. 164); 1,58 mm (Fig. 168). – C 24576/1–5 . . . . .	150
Fig. 169–173. Siehe Erklärungen bei Fig. 151–154.	
Fig. 174–177. <i>Dentalina</i> <i>nana</i> REUSS 1863. Länge: 0,93 mm (Fig. 174); 1,38 mm (Fig. 177). – C 24577/1–4 . . . . .	152
Fig. 178–182. <i>Lenticulina</i> ( <i>M.</i> ) <i>cephalotes</i> (REUSS 1863). Länge: 0,98 mm (Fig. 182). – C 24578/1–5 . . . . .	150



### Tafel III

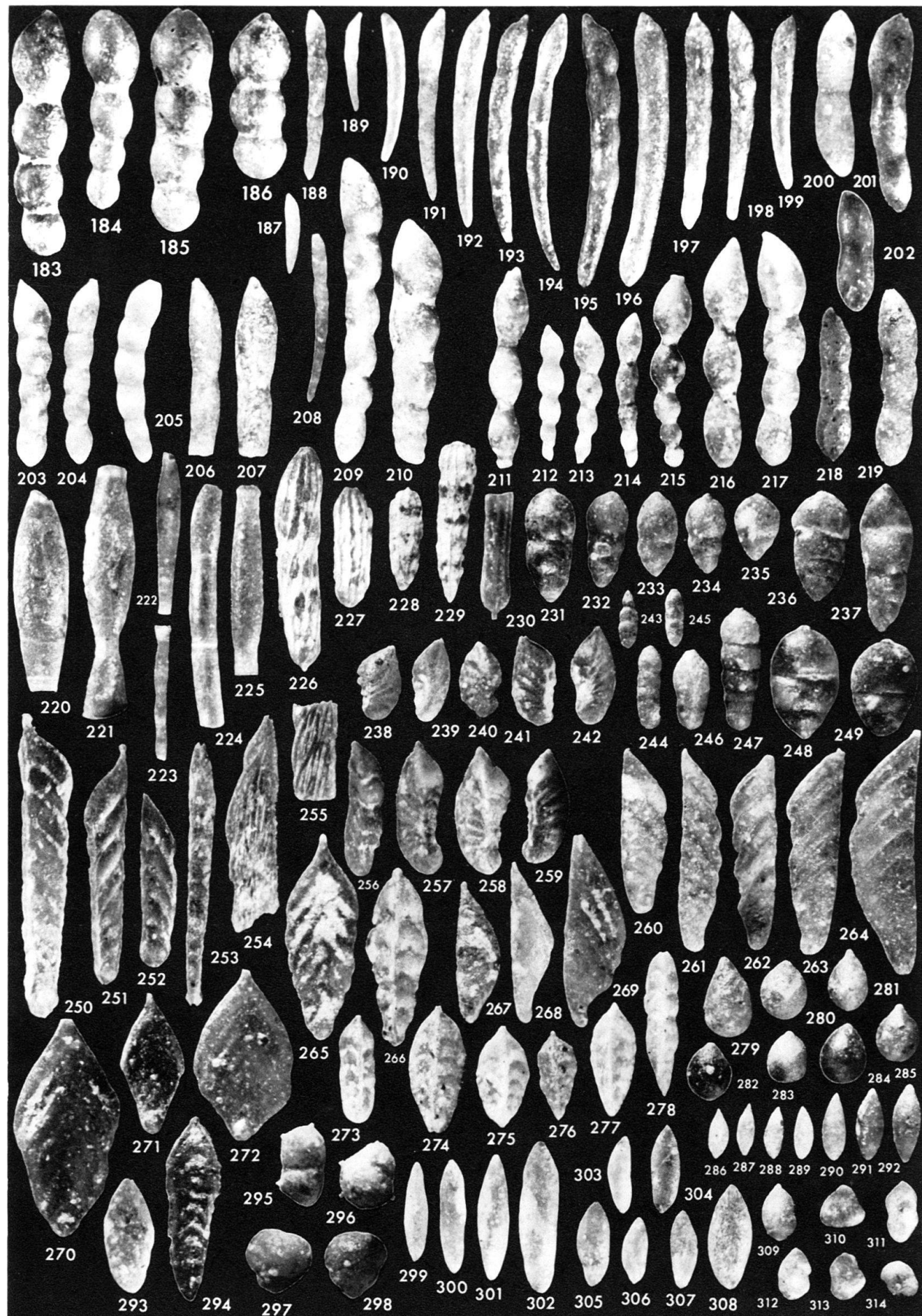
Kalkschalige Foraminiferen der Familien Lagenidae (Fig. 183–285, 293)

und Polymorphinidae (Fig. 286–292, 294–314) aus der

Maridale-Formation von Trinidad

Sämtliche Figuren: Vergrößerung 20:1

Seite	Seite
Fig. 183–186. <i>Dentalina soluta</i> REUSS 1851. (siehe auch Taf. 2 Fig. 155–159). Länge: 1,93 mm (Fig. 183). – C 24579/1–4 . . . . . 152	Fig. 246–247. <i>Rectoglandulina humilis</i> (ROEMER 1841). Länge: 0,97 mm (Fig. 247). – C 24596/1–2 . . . . . 155
Fig. 187–194, 208. <i>Dentalina gracilis</i> ORBIGNY 1839. Länge: 2,05 mm (Fig. 194). – C 24580/1–9 153	Fig. 248–249. Siehe Erklärungen bei Fig. 236–237.
Fig. 195–199. <i>Dentalina communis</i> ORBIGNY 1826. Länge: 2,15 mm (Fig. 195). – C 24581/1–5 153	Fig. 250–253. <i>Vaginulina recta</i> REUSS 1863. Länge: 2,38 mm (Fig. 250). – C 24597/1–4 . . . . . 155
Fig. 200–202, 218–219. <i>Dentalina cylindroides</i> REUSS 1860. Länge: 1,58 mm (Fig. 201). – C 24582/1–5 . . . . . 153	Fig. 254–255. <i>Vaginulina</i> sp. – Bruchstücke. Länge: 1,70 mm (Fig. 254). – C 24598/1–2 . . . . . 155
Fig. 203–204, 209, 217. <i>Dentalina distincta</i> REUSS 1860. Länge: 1,43 mm (Fig. 203); 2,35 mm (Fig. 209). – C 24583/1–4 . . . . . 153	Fig. 256–259. Siehe Erklärungen bei Fig. 238–242.
Fig. 205. <i>Dentalina linearis</i> (ROEMER 1841). Länge: 1,40 mm. – C 24584 . . . . . 153	Fig. 260–264. <i>Vaginulina</i> cf. <i>recta tenuistriata</i> CHAPMAN 1894. Länge: 1,30 mm (Fig. 260); 1,88 mm (Fig. 264). – C 24599/1–5 . . . . . 156
Fig. 206–207. <i>Dentalina</i> cf. <i>deflexa</i> REUSS 1863. Länge: 1,40 mm (Fig. 206). – C 24585/1–2 . . . . . 153	Fig. 265. Siehe Erklärungen bei Fig. 270–272.
Fig. 208. Siehe Erklärungen bei Fig. 187–194.	Fig. 266. Siehe Erklärungen bei Fig. 273–278.
Fig. 209. Siehe Erklärungen bei Fig. 203–204.	Fig. 267–269. <i>Vaginulina geinitzi</i> REUSS 1874. Länge: 1,50 mm (Fig. 269). – C 24600/1–3 . . . . . 156
Fig. 210. <i>Marginulina linearis</i> REUSS 1863. (siehe auch Taf. 2 Fig. 160–163). Länge: 1,88 mm. – C 24586 . . . . . 151	Fig. 270–272, 265. <i>Frondicularia gaultina</i> REUSS 1860. Länge: 1,72 mm (Fig. 270). – C 24601/1–4 156
Fig. 211–216. <i>Dentalina guttifera</i> ORBIGNY 1846. Länge: 0,86 mm (Fig. 216). – C 24587/1–6. 154	Fig. 273–278, 266. <i>Tristix acutangula</i> (REUSS 1863). Länge: 1,38 mm (Fig. 266); 1,0 mm (Fig. 274). – C 24602/1–7 . . . . . 157
Fig. 217. Siehe Erklärungen bei Fig. 203–204.	Fig. 279–285. <i>Lagenaria laevis</i> (MONTAGU 1803). Länge: 0,64 mm (Fig. 279); 0,50 mm (Fig. 280). – C 24603/1–7 . . . . . 157
Fig. 218–219. Siehe Erklärungen bei Fig. 200–202.	Fig. 286–292, 308. <i>Globulina prisca</i> REUSS 1863. Länge: 0,63 mm (Fig. 292); 0,85 mm (Fig. 308). – C 24604/1–8 . . . . . 158
Fig. 220–225. <i>Nodosaria</i> ? sp. Länge: 1,63 mm (Fig. 220); 2,0 mm (Fig. 221). – C 24588/1–6 . 152	Fig. 293. <i>Falsopalmula</i> sp. Länge: 0,90 mm. – C 24605. . . . . 157
Fig. 226. <i>Dentalina</i> cf. <i>porcatulata</i> LOEBLICH & TAPPAN 1951. Länge: 1,75 mm. – C 24589. 154	Fig. 294. <i>Quadratina maertensi</i> (REUSS 1863). Länge: 1,45 mm. – C 24606 . . . . . 157
Fig. 227–229. <i>Marginulina pyramidalis</i> (KOCHE 1851). Länge: 1,25 mm (Fig. 229). – C 24590/1–3 151	Fig. 295–296. <i>Ramulina laevis</i> JONES 1875. Länge: 0,65 mm (Fig. 295). – C 24607/1–2 . . . . . 159
Fig. 230. <i>Nodosaria orthopleura</i> REUSS 1863. Länge: 1,0 mm. – C 24591 . . . . . 152	Fig. 297–298. Genus et Species incertae sedis. Höhe: 0,55 mm (Fig. 297). – C 24608/1–2. . . . . 159
Fig. 231–235. <i>Rectoglandulina mutabilis</i> (REUSS 1863). Länge: 0,93 mm (Fig. 231). – C 24592/1–5 . . . . . 154	Fig. 299–302. <i>Pyrulina cylindroides</i> (ROEMER 1838). Länge: 0,78 mm (Fig. 299); 1,23 mm (Fig. 302). – C 24609/1–4 . . . . . 158
Fig. 236–237, 248–249. <i>Rectoglandulina</i> cf. <i>mutabilis</i> (REUSS 1863). Länge: 1,18 mm (Fig. 237). – C 24593/1–4 . . . . . 154	Fig. 303–307. <i>Pyrulina exserta</i> (BERTHELIN 1880). Länge: 0,70 mm (Fig. 304). – C 24610/1–5. 158
Fig. 238–242, 256–259. <i>Lenticulina</i> (S.) <i>spinosa</i> (EICHENBERG 1935). Länge: 0,60 mm (Fig. 238); 1,13 mm (Fig. 256). – C 24594/1–9 151	Fig. 308. Siehe Erklärung bei Fig. 286–292.
Fig. 243–245. <i>Lingulina loryi</i> (BERTHELIN 1880). Länge: 0,68 mm (Fig. 244). – C 24595/1–3 155	Fig. 309–314. <i>Falsoguttulina vandenboldi</i> (BARTENSTEIN, BETTENSTAEDT & BOLLI 1957). Länge: 0,48 mm (Fig. 309); 0,35 mm (Fig. 310). – C 24611/1–6. . . . . 158



## Tafel IV

**Kalkschalige Foraminiferen verschiedener Familien (Tafel IV, obere Hälfte, Fig. 315–402) und Ostrakoden (Tafel IV, untere Hälfte, a–d) aus der Maridale-Formation von Trinidad**

Tafel IV (= obere Hälfte) Vergrösserung 20:1

Fig. 315–339. <i>Ramulina aculeata</i> WRIGHT 1886 . . . . .	159
315: Form a. Höhe: 0,60 mm. – C 24612.	
316–324: Form b. Länge: 1,33 mm (Fig. 316). – C 23613/1–9.	
325–329: Form c. Länge: 1,08 mm (Fig. 325). – C 24614/1–5.	
331–335: Form d. Länge: 1,03 mm (Fig. 335). – C 24615/1–5.	
330, 336: Form e. Länge: 2,25 mm (Fig. 336). – C 24616/1–2.	
337–339: Form f. Länge: 1,90 mm (Fig. 338). – C 24617/1–3.	
Fig. 340–353. <i>Gavelinella intermedia</i> (BERTHELIN 1880).	
Grösster Durchmesser: 0,57 mm (Fig. 340); 0,38 mm (Fig. 347). – C 24618/1–14 . .	161
Fig. 354–355. <i>Valvulinaria gracillima</i> DAM 1947.	
Grösster Durchmesser: 0,28 mm (Fig. 354). – C 24619/1–2 . . . . .	161
Fig. 356. <i>Planomalina</i> sp. Mündungsansicht.	
Höhe: 0,28 mm. – C 24620 . . . . .	163
Fig. 357–359. <i>Conorotalites aptiensis</i> (BETTENSTAEDT 1952).	
Grösster Durchmesser: 0,38 mm (Fig. 357). – C 24621/1–3 . . . . .	162
Fig. 360–370. <i>Hedbergella delrioensis</i> (CARSEY 1926).	
Grösster Durchmesser: 0,31 mm (Fig. 360). – C 24622/1–11 . . . . .	164
Fig. 371–380. <i>Planomalina muridalensis</i> BOLLI 1959.	
Grösster Durchmesser: 0,38 mm (Fig. 371). – C 24623/1–10 . . . . .	163
Fig. 381–383. <i>Schackoina pustulans</i> BOLLI 1957.	
Grösster Durchmesser: 0,23 mm (Fig. 381). – C 24624/1–3 . . . . .	163
Fig. 384–385, 398–402. <i>Planomalina saundersi</i> BOLLI 1959.	
Grösster Durchmesser: 0,38 mm (Fig. 398). – C 24625/1–7 . . . . .	163
Fig. 386–397. <i>Biglobigerinella barri</i> BOLLI, LOEBLICH & TAPPAN 1957.	
Grösster Durchmesser: 0,58 mm (Fig. 386). – C 24626/1–12 . . . . .	164
Fig. 398–402. Siehe Erklärungen bei Fig. 384–385.	

Tafel IV (= untere Hälfte) Vergrösserung 26:1

Ostrakoden-Assoziation mit folgenden wichtigsten Gattungen und Arten:

- a. *Pontocyprilla* aff. *gracilis* (ALEXANDER 1929) als dominierende Art. – F 431
- b. *Bairdia* sp. (n. sp.). – F 432
- c. *Cytherella* sp. (n. sp.). – F 433
- d. *Cytherura* ? sp. (n. sp.). – F 434

Probenpunkt: Bo 68 a–f.

